

# AIRES, ZHAireS y RASPASS: Cuentas y plantillas

Sergio Cabana Freire

27 de septiembre de 2022

Voy a recoger aquí las cuentas que vaya haciendo sobre la geometría de los programas. También incluiré algunas plantillas para input files y las normas que se me ocurran para nombrar ficheros de manera eficiente. Lo que sigue está pensado para AIRES 19.04.08 (22/Oct/2021) con la extensión ZHAireS 1.0.30a (30/Jun/2022), que incluye RASPASS<sup>1</sup>. Las diferencias con versiones anteriores estarán en la geometría (aunque los cálculos podrán adaptarse, simplemente fijando algunos parámetros que en RASPASS son libres) y en alguna tabla o instrucción IDL nueva, nada más.

Referencias importantes:

[Página web de AIRES / ZHAireS. Documentación actualizada](#)

[Presentación de RASPASS. Matías Tueros, ARENA 2022](#)

## Índice

<b>1. Geometría en RASPASS</b>	<b>2</b>
1.1. Altura del punto de inyección . . . . .	3
1.2. Valor de $d$ en función de $v$ (y demás parámetros RASPASS) . . . . .	3
1.3. Altura en la atmósfera, $H$ , en función de distancia recorrida a lo largo del eje desde IP	3
1.4. Materia atravesada en función de distancia recorrida a lo largo del eje desde IP . . . .	4

---

<sup>1</sup>*RaspPASS is an Aires Special Primary for Atmospheric Skimming Showers*. Primera sigla recursiva observada en la naturaleza.

## 1. Geometría en RASPASS

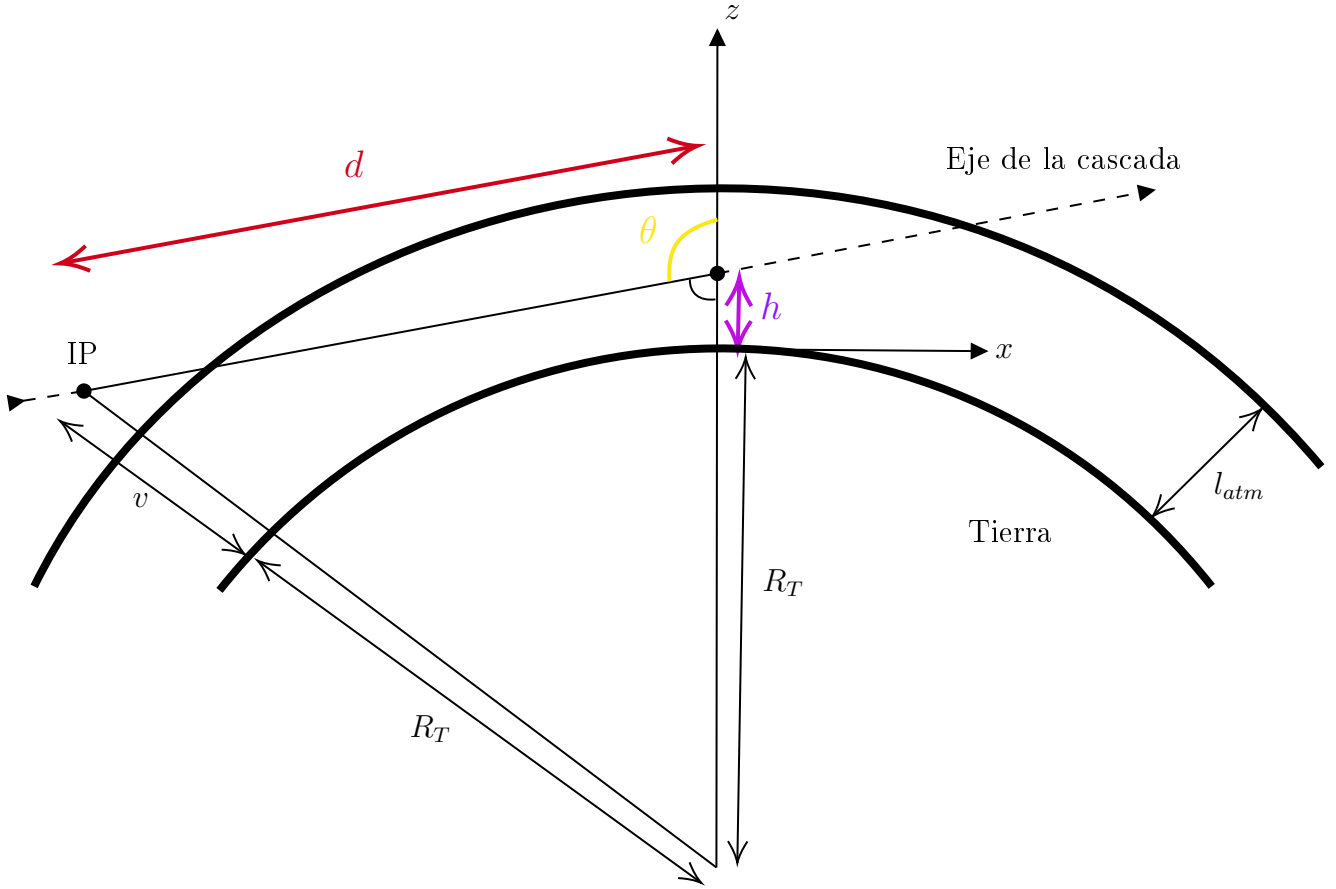


Figura 1.1: Esquema de la geometría en RASPASS

Tenemos tres parámetros para determinar la geometría en RASPASS:

- RASPASSDistance,  $d$ . Distancia a lo largo del eje desde el punto de inyección (IP) hasta la intersección con la vertical del observador.
- RASPASSHeight,  $h$ . Altura a la que pasa el eje de la cascada sobre la vertical del observador.
- PrimaryZenAngle,  $\theta$ . Ángulo entre el eje de la cascada y la vertical del observador.

Esta geometría puede reducirse a casos más sencillos:

- Cascadas hacia abajo (normales):  $h = 0$ ,  $\theta < 90^\circ$ .
- Cascadas hacia arriba:  $h = 0$ ,  $d \leq 0$ ,  $\theta > 90^\circ$  (Inyección a nivel del suelo o por encima)

Todo lo que sigue es trigonometría sencilla<sup>2</sup>:

$$(R_T + v)^2 = (R_T + h)^2 + d^2 + 2d(R_T + h) \cos \theta \quad (1.1)$$

---

<sup>2</sup> $\sin(\pi - x) = \sin x$  ;  $\cos(\pi - x) = -\cos x$

### 1.1. Altura del punto de inyección

Despejando de (1.1):

$$v = \sqrt{(R_T + h)^2 + d^2 + 2d(R_T + h) \cos \theta} - R_T \quad (1.2)$$

### 1.2. Valor de $d$ en función de $v$ (y demás parámetros RASPASS)

La ecuación (1.1) es una cuadrática en  $d$ :

$$d = -(R_T + h) \cos \theta + \sqrt{(R_T + h)^2 \cos^2 \theta - [h^2 - v^2 + 2R_T(h - v)]} \quad (1.3)$$

### 1.3. Altura en la atmósfera, $H$ , en función de distancia recorrida a lo largo del eje desde IP

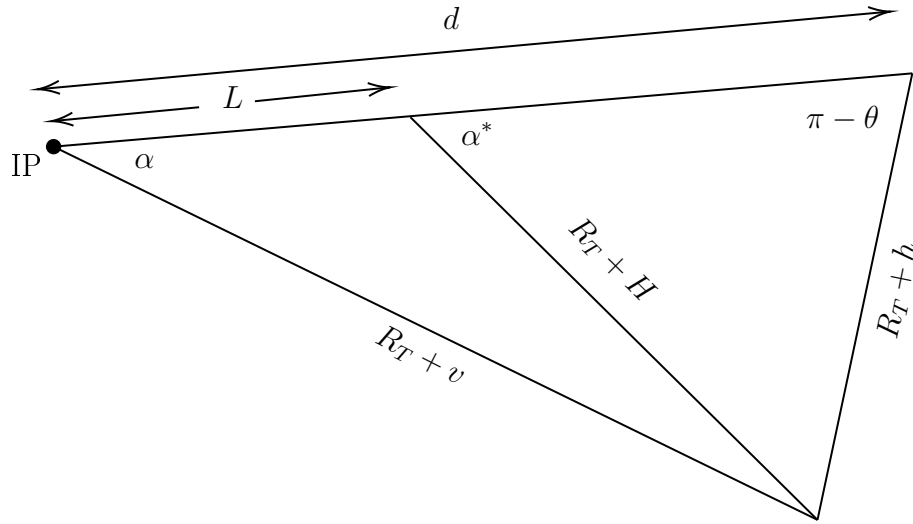


Figura 1.2: Detalle del triángulo en la Fig. 1.1.

Aplicando el teorema del coseno:

$$(R_T + H)^2 = (R_T + v)^2 + L^2 - 2L(R_T + v) \cos \alpha \quad (1.4)$$

$$H = \sqrt{(R_T + v)^2 + L^2 - 2L(R_T + v) \cos \alpha} - R_T \quad (1.5)$$

$v$  puede obtenerse de los inputs de RASPASS (1.2). Falta calcular  $\cos \alpha$ . Aplicamos el teorema del seno y elevamos al cuadrado:

$$\frac{(R_T + h)^2}{1 - \cos^2 \alpha} = \frac{(R_T + v)^2}{\sin^2(\pi - \theta)} = \frac{(R_T + v)^2}{\sin^2 \theta} \quad (1.6)$$

$$\cos \alpha = \sqrt{1 - \left( \frac{R_T + h}{R_T + v} \right)^2 \sin^2 \theta} \quad (1.7)$$

Las ecuaciones (1.5) y (1.7) forman el resultado.

#### 1.4. Materia atravesada en función de distancia recorrida a lo largo del eje desde IP

La cantidad de materia atravesada es:

$$X(L) \text{ [g/cm}^2\text{]} = \int_0^L \rho(H(l)) dl \quad (1.8)$$

donde  $dl$  es el elemento de línea a lo largo del eje. Es fácil ver que, al avanzar a lo largo del eje una distancia  $dl$ , la altura cambia en:

$$dH = \pm dl \cos \alpha(H)^* = \operatorname{sgn} \left( \frac{\delta H}{\delta l} \right) dl \cos \alpha(H)^* \quad (1.9)$$

donde  $\alpha^*$  es el ángulo cenital *local*, i.e., entre una distancia recorrida  $L$  y  $L + dl$  (Fig. 1.2). El signo depende de si la altura aumenta o disminuye según avanzamos. Planteando el teorema del seno como en (1.6), es inmediato llegar a que<sup>3</sup>:

$$X(L) = \int_v^{H(L)} \operatorname{sgn} \left( \frac{\delta H'}{\delta l} \right) \rho(H') \frac{dH'}{\sqrt{1 - \left( \frac{R_T + h}{R_T + H'} \right)^2 \sin^2 \theta}} \quad (1.10)$$

Puede que haya que tener cuidado con el hecho de que  $H(L)$  decrece y luego vuelve a crecer en cascadas estratosféricas, y el signo cambia. En ese caso:

$$X(L) = \int_{H_{min}}^v \rho(H') \frac{H'}{\cos \alpha(H')^*} + \int_{H_{min}}^{H(L)} \rho(H') \frac{dH'}{\cos \alpha(H')^*} \quad (1.11)$$

---

<sup>3</sup>Ojo, el cambio de variable va con el *valor absoluto* del determinante jacobiano en la integral. El hecho de meter el signo se debe a que  $X$  debe ser una magnitud estrictamente positiva.